RSA 05/2537 สำนักงานกองทุนสนับสนุนการวิจัย [17] S.A. 7540

รายงานฉบับสมบูรณ์

(1 ธันวาคม 2538 - 30 พฤศจิกายน 2540)

การศึกษาการเปลี่ยนแปลงในระดับโมเลกุ ลภายใน เซลล์ ประสาทภายหลังการติดเชื้อโรคพิษสุนัขบ้า

จัย ผู้ช่วยศาสตราจารย์ ดร.ศุขธิดา อุบล

เาควิชาจุลชีววิทยา คณะวิทยาศาสตร์ มหาวิทยาลัยมหิดล

สำนักงานกองทุนสนับสนุนการวิจัย ศู ปี S.A. 2540

รายงานฉบับสมบูรณ์

(1 ธันวาคม 2538 - 30 พฤศจิกายน 2540)

การศึกษาการเปลี่ยนแปลงในระดับโมเลกุลภายใน เซลล์ประสาทภายหลังการติดเชื้อโรคพิษสุนัขบ้า

เมธีวิจัย ผู้ช่วยศาสตราจารย์ ดร.ศุขธิดา อุบล

ภาควิชาจุลชีววิทยา คณะวิทยาศาสตร์ มหาวิทยาลัยมหิดล

บทคัดช่อ

rabies virus เป็นจุลชีพที่ก่อให้เกิดโรคกลัวน้ำ (hydrophobia) ซึ่งเป็นที่รู้จักกันมานาน กว่าศรวรรษ แต่ยังไม่ปรากฏวิธีการรักษา ผู้ป่วยเมื่อเริ่มแสดงอาการจะต้องเสียชีวิตทุกราย การ ป้องกันสามารถกระทำได้โดยการรับวัคชีนภายหลังจากถูกสัตว์ที่เป็นบ้ากัด ปัจจัยที่ทำให้การรักษาไม่ ประสบผลสำเร็จนั้นประกอบไปด้วยหลายประการ ปัจจัยหลักประการหนึ่งคือ กลไกในการเกิดโรคยัง ไม่เป็นที่ทราบอย่างถ่องแท้ โครงการวิจัยนี้จึงได้ทำการศึกษากลไกการตายของเซลล์ประสาทภายหลัง การติดเชื้อ rabies virus โดยทำการศึกษาในสัตว์ทดลองควบคู่ไปกับการศึกษาการตายของเซลล์ ประสาท (neuroblastoma cell time) ในหลอดทดลอง

การติดเชื้อ rabies virus ใน mouse neuroblastoma cells ก่อให้เกิดการตายของเซลล์ดัง กล่าวด้วยกลไก apoptosis ซึ่งพิสูจน์ได้จากลักษณะ chromatin condensation และ DNA laddering ของเซลล์ที่ติดเชื้อ และเมื่อตรวจ DNA repairing system ของเซลล์ที่ติดเชื้อพบว่า การ degrade ของ สาย DNA นั้น เกิดควบคู่ไปกับการเสื่อมสลายของ poly ADP-ribose polymerase (PARP) ซึ่งเป็น marker ตัวหนึ่งของ DNA repairing system การเสื่อมสลายของ PARP นั้น พบว่าเกิดขึ้นเนื่องมา จาก upregulation และ activation ของเอ็นไซม์ในกลุ่ม cysteine protease (ICE, CPP-32) โดยที่ PARP นั้นจัดว่าเป็น substrate ตัวหนึ่งของเอ็นไซม์ในกลุ่มนี้ นอกจากนี้ยังพบว่า apoptosis ใน neuroblastoma cells ที่ติดเชื้อนั้นถูกควบคุมโดยอัตราส่วนระหว่าง bcl-2 (apoptotic negative regulatorygene) และ Bax (apoptotic positive regulatory gene) พบ expression ซอง 3ax เพิ่มขึ้น อย่างมีนัยสำคัญ ในขณะที่ bcl-2 ไม่เปลี่ยนแปลง การที่มี Bax เพิ่มมากขึ้นจึงเป็นการกระตุ้น apoptosis ผลสรุปจากการศึกษาในหลอดทดลองคือ เมื่อ infect เซลส์ neuroblastoma ด้วย rabies virus จะมีการกระตุ้นการแสดงออกของ Bax ซึ่งเป็นสัญญาณให้เชลล์ตัดสินใจเข้าสู่ programmed cell death การตายที่เกิดขึ้นนั้นผ่านทางการกระตุ้น ICE gene และ/หรือ protease ตัวอื่น ๆ ส่งผลให้เกิด ดังนั้นเมื่อเกิดการทำลาย DNA โดยการทำงานของ การทำลายของ DNA repairing system endonuclease จึงไม่มีการช่อมแชมและเซลล์ตายในที่สุด

การตายของเซลล์ในหลอดทดลองข้างต้นได้นำมาศึกษาเปรียบเทียบกับการตายของสัตว์ ทดลองที่ได้รับเชื้อ rabies virus พบว่าเซลล์ประสาทของหนูที่ได้รับ fixed strain of rabies virus (CVS) และ street rabies virus (dog, bat strain) ตายโดยกลไก apoptosis เช่นเดียวกับเซลล์ใน หลอดทดลอง การเกิด apoptosis ในหนูทดลองนี้ไม่เกี่ยวข้องกับบทบาทของ immunological mediators ทั้งนี้เพราะหนูที่ได้รับยากดภูมิต้านทาน (T & B cells ไม่ทำงาน) เซลล์ประสาทที่ติดเชื้อก็ ตายด้วยขบวนการเดียวกัน นอกจากนี้ยังพบว่า apoptosis ของเซลล์ประสาทนั้นเกิดขึ้นก่อนที่หนูจะ แสดงอาการป่วย การตรวจสอบ gene ที่เข้ามาเกี่ยวข้องพบในลักษณะเดี่ยวกับเซลล์ในหลอดทดลอง กล่าวคือ bcl-2 gene ไม่เปลี่ยนแปลง มีการ upregulate การแสดงออกของ ICE gene และนอกจากนี้ ยังมีการแสดงออกของ Nedd-2 gene

ผลการศึกษาจากโครงการวิจัยนี้และจากรายงานของนักวิจัยอื่น ๆ พอที่จะสรุปพยาธิ สภาพของโรคพิษสุนัขบ้าได้อย่างกว้าง ๆ คือ เมื่อสัตว์ได้รับ rabies virus ไวรัสจากบาดแผลเดินทาง เข้าสู่ระบบประสาทเจริญเติบใน neuron และการเจริญเติบโตของไวรัสนั้นทำให้เกิดการกระตุ้นขบวน การ apoptosis ภายในเซลล์ที่ติดเชื้อ และเชื่อว่าในขณะที่ neuron เข้าสู่ apoptosis โดยที่เซลล์ยังไม่ dissociate นั้น neuron ดังกล่าวจะต้องปล่อย factors ต่าง ๆ ออกมาอย่างผิดปกติ ผลของ factors ต่าง ๆ เหล่านี้บวกกับขบวนการที่ยังไม่ทราบส่งผลให้เกิด leakage ของ blood brain barrier ติดตาม ด้วย influx ของ activated immune cells เข้าไปใน brain ซึ่งจะเป็นการขยายการตายของ brain cells ให้เกิดมากขึ้น อนึ่งการเกิด apoptosis ไม่สามารถอธิบาย clinical manifestration ของโรคได้ แต่คาด ว่า factors ต่าง ๆ ที่ปล่อยมาจาก apoptotic neuron และบทบาทของ activated immune cells จะเป็น ตัวกำหนด pasalytic หรือ encenhalitic type of rabies

การศึกษาการเปลี่ยนแ<mark>ปลงในระดับโมเลกุลภายในเซลล์ประสาท</mark>ภายหลังการ ติดเชื้อโรคพิษสุนัขบ้า

วัตถุประสงค์

เพื่อศึกษากลไกการตายของเซลล์ประสาท ซึ่งติดเชื้อโรคพิษสุนัขบ้า โดยทำการศึกษาใน สัตว์ทดลองควบคู่ไปกับการศึกษาในเซลล์เพาะเลี้ยง (mouse neuroblastoma cells)

สรุปผลการทดลองที่ค้นพบ

กลไลการตายของเซลล์ภายหลังติดเชื้อไวรัสในเซลล์เพาะเลี้ยงและในสัตว์ทดลอง ให้ผล สอดคล้องกันคือ เป็นกลไกเดียวกัน genes และโปรตีนที่เกี่ยวข้องเท่าที่ทำการศึกษาเป็นตัวเดียวกัน กล่าวคือ

- 1. ภายหลังการติดเชื้อ rabies virus เซลล์เป้าหมายจะตายด้วยกลไก apoptosis โดยที่ การเกิด apoptosis จะสอดคล้องกับ kinetics of replication ของไวรัสในเซลล์ประสาทและเซลล์เพาะ เลี้ยง
- 2. cleavage ของ DNA ใน apoptotic cell เกิดขึ้นควบคู่ไปกับการที่ DNA repairing system ถูกทำลาย
- 3. signal ชนิดหนึ่งที่ควบคุมการเข้าสู่ propammed cell death ของเซลล์ที่ติดเชื้อ rabies virus คือ ratio ระหว่าง bcl-2 และ Bax โดยเซลล์ที่ติดเชื้อนั้นสร้าง bcl-2 ในปริมาณปกติ แต่มีการ สร้าง Bax เพิ่มมากขึ้น
 - 4. proteases ที่เกี่ยวข้องกับการทำลาย DNA repairing system คือ ICE และ CPP-32
- 5. ในหนูทดลอง ขบวนการ apoptosis ในเชลล์ประสาทเกิดขึ้นก่อนที่สัตว์ทดลองนั้นจะ แสดงอาการป่วย
- 6. ขบวนการ apoptosis ในสัตว์ทดลองที่ได้รับเชื้อนั้น เกิดขึ้นโดยการกระตุ้นของ rabies virus และไม่ขึ้นกับบทบาทของ immulogical mediaors
- 7. ในสัตว์ทดลองนอกจาก Bax และ ICE ที่ทำหน้าที่ควบคุมการเกิด apoptosis แล้วยัง พบว่า Nedd-2 gene ซึ่งควบคุม neuron development ในช่วง embryonic stage และถูก suppressed ไปเมื่อหนูโตเต็มที่ Nedd-2 gene จะถูกกระตุ้นให้แสดงออกอีกครั้งหนึ่งเมื่อ neuron นั้นตาย โดย rabies virus-induced apoptosis

บทนำและที่มาของปัญหา

โรคพิษสุนัขบ้าและโรคกลัวน้ำนับว่าเป็นที่รู้จักมานานกว่าสองศรวรรษ (1) ในปัจจุบัน โรคพิษสุนัขบ้ายังคงเป็นปัญหาในหลาย ๆ ส่วนของแต่ละทวีป รายงานขององค์การอนามัยโลกในปี 1994 พบผู้เสียชีวิตจากโรคดังกล่าว 34,110 ราย โดยส่วนใหญ่มาจากทวีปเอเชีย (33801 ราย) นอกนั้นมาจากทวีปอเมริกาและอาฟริกา ในประเทศที่พัฒนาแล้วและมีการบริหารจัดการวัคชีนเป็น อย่างดี การระบาดของโรคจะเป็นปัญหาในสัตว์ป่า และผู้เสียชีวิตติดโรคจากสัตว์ป่า แต่ในประเทศที่ กำลังพัฒนาในแถบเอเชีย ปัญหาการติดเชื้อจะมาจากสัตว์เลี้ยงและสัตว์จรจัดเป็นหลัก (2)

พยาธิสภาพของการเป็นโรคกลัวน้ำนั้นกล่าวโดยทั่วไปคือ เมื่อถูกสัตว์ที่เป็นบ้ากัด ระยะ ฟักตัวจะขึ้นอยู่กับความรุนแรงของบาดแผล ตำแหน่งที่ถูกกัด และปริมาณของไวรัสที่อยู่ในน้ำลาย ของสัตว์ในขณะที่กัด โดยปกติระยะฟักตัวจะอยู่ในช่วง 1-2 เดือน มีรายงานว่าระยะฟักตัวอาจจะสั้น กว่า 7 วันหรือยาวนานถึง 6 ปี (1, 3) อาการทางคลินิคมีสองลักษระคือ paralytic หรือ dumb rabies และ encephalitic หรือ furious rabies นักวิจัยหลาย ๆ กลุ่มได้พยายามศึกษาถึงสาเหตุที่ทำให้ เกิด clinical diversity ในโรคกลัวน้ำ

โดยทั่วๆ ไป พยาธิสถาพของโรคที่เกิดจากเชื้อไวรัสหรือจุลชีพอื่นๆ จะถูกกำหนดโดย ปัจจัยหลัก 2 ปัจจัยคือ

- I ปัจจัยที่มาจากตัว host เช่น ระบบภูมิคุ้มกัน, พันธุกรรม, ความสมบูรณ์ของร่างกาย, ระบบฮอร์โมน เป็นต้น
 - II ปัจจัยที่มาจากตัวไวรัสหรือคุณสมบัติของจุลชีพนั้นๆ

I ปัจจัยที่มาจาก host

ปัจจัยของ host ที่มีผลต่อลักษณะอาการทางคลีนิคของโรคพิษสุนัขบ้าได้มีผู้ทำการ ศึกษาอย่างกว้างขวาง โดยมุ่งเน้นไปที่บทบาทของ immunological mediators โดยเฉพาะบทบาท T-cell responses บทบาทของ T-cell responses ต่อลักษระอาการทางคลีนิคแตกต่างกันเล็กน้อย กล่าว คือ หนูที่มี active T-cells response จะแสดงอาการ paralysis ในขณะที่ผู้ติดเชื้อ rabies virus และมี active T-cell response จะแสดงอาการ encephalitic rabies (4,5,6,7) สิ่งหนึ่งที่สอดคล้องกัน ระหว่างหนูที่ติดเชื้อและคนที่ติดเชื้อและมี active T-cell responses คือทั้งหนูและคนเหล่านั้นจะมี survival time ที่สั้นกว่า หนูหรือคนที่ติดเชื้อแต่ไม่พบ active T-cell responses (3) ในขณะที่ humoral antibody มีบทบาทสำคัญต่อ protection (8) นอกจากนั้นยังพบว่าในผู้ป่วยโรคพิษสุนัขบ้า นั้นไม่ว่าจะแสดงอาการ paralytic หรือ encephalitic rabies ไม่ใช่ทุกรายที่จะตรวจพบ detective level of immune responses to either rabies antigens or brain antigens (7) จากข้อมูลเหล่านี้อาจจะ กล่าวได้ว่า T-cell response ไม่ได้อธิบาย primary cause ของลักษณะอาการทางคลีนิค

ปัจจัยจาก host ที่มีผู้ศึกษานอกเหนือจากระบบอิมมูน เช่น serotonin, acetylcholine, neuropeptide, hormone etc. โดยคาดว่าการเปลี่ยนแปลงของระดับ IL-1 ในสนอง

จะส่งผลต่อ serotonin metabolism ซึ่ง serotonin นั้นมีบทบาทต่อเนื่องไปถึง acetylcholine system โดยอาจส่งผลให้เกิด desensitized muscurinic Ach R. ซึ่งอาจจะเกี่ยวโยงกับอาการทางคลีนิคแบบ encephalities (3,9,10,11,12,13)

II ปัจจัยที่มาจากตัวไวรัสหรือคุณสมบัติของไวรัส

เดิมเชื่อกันว่า rabies virus ไม่ได้ทำให้เกิดการตายของเซลล์เป้าหมายโดยตรง ทั้งนี้ เนื่องมาจากไม่ปรากฏ necrosis หรือ neuropahgia ของเซลล์ประสาทในสัตว์ที่ติดเชื้อ ข้อมูลที่สนับ สนุนในข้อที่ว่าคุณสมบัติของเชื้อไวรัสมีบทบาทต่อ pathogenesis เช่น พบว่า glycoprotein G ของ rabies virus โดยเฉพาะ antigentic site III มีบทบาทโดยตรงกับ pathogenesis โดยพบว่า substitution ของกรดอะมิโนที่ตำแหน่ง 333 ของ glycoprotein G จาก arginine ไปเป็น glutamine หรือ isoleucine จะทำให้เกิด nonpathogenic mutants (14) การเปลี่ยนแปลงของกรดอะมิโนเพียงหนึ่งตัว นี้ส่งผลให้เกิดความล่าข้าในขบวนการ entry และ spreading ของไวรัสในเซลล์เป้าหมาย (15, 16)

ในช่วงเวลาเดียวกับที่ช้าพเจ้าได้รับทุนเมธีวิจัยจากสกว. นั้น Alan Jackson และคณะ ได้ทำการศึกษาถึงบทบาทโดยตรงของ rabies virus ต่อเซลล์เป้าหมายและได้ตีพิมพ์ผลงานในรูปของ Notes ใน Journal of Virology เมื่อเดือน July, 1997 โดยรายงานว่า rabies virus สามารถกระตุ้น การตายแบบ apoptosis ในเซลล์เป้าหมายได้ (17)

Apoptosis กับการติดเชื้อไวรัส

ในปัจจุบันพบว่าไวรัสหลายชนิดสามารถกระตุ้นให้เกิด apoptosis ในเชลล์เป้าหมายได้ การเกิด apoptosis ในเชลล์ที่ติดเชื้อไวรัสนั้นอาจจะถูกมองว่าเป็นกลไกหนึ่งของ defense mechanisms ได้ ถ้า apoptosis นั้นเกิดขึ้นสมบูรณ์ก่อนที่ไวรัสนั้น replicate ออกมาเป็น progeny ใหม่และต้องเป็น apoptosis ของ regenerating cells ถ้ากลไกนี้เกิดขึ้นกับ nonregenerating cells เช่น neuron defense mechanism นี้อาจส่งผลให้เกิดการตายหรือเป็นโรคได้ ไวรัสที่มี genome ขนาดใหญ่และใช้เวลาใน การ replicate และสร้าง progeny นาน ไวรัสพวกนี้มักจะ carry gene ที่ทำหน้าที่ inhibit apoptosis เช่น BHRF-1 ของ Epstein-Barr Virus, iap ของ baculovirm, Crm A ของ Poxvirus เป็นต้น ไวรัส ในกลุ่มนี้มักจะก่อให้เกิด tumor

บทบาทของ viral induced apoptosis ต่อพยาธิสถาพของโรคติดเชื้อไวรัส ได้มีผู้ศึกษา มากขึ้นและเริ่มจะเห็นบทบาทมากขึ้นทั้งในสภาวะที่เป็น apoptotic induction และ apoptotic inhibition ไวรัสสามารถก่อให้เกิดโรคได้ทั้งสิ้น การติดเชื้อ HIV เป็นตัวอย่างหนึ่ง ซึ่ง apoptosis ของ lymphoid tissue รวมทั้ง progenitor cells (18, 19) นำไปสู่สภาวะภูมิคุ้มกันบกพร่องและส่งผลให้ เกิดการติดเชื้อฉายโอกาสและอื่นๆ

ไวรัสที่มี genome ขนาดเล็กและ infect nonregenerating cells (neuron) เช่น Sindbis virus (SV) เป็นตัวอย่างที่แสดงให้เห็นว่า apoptosis ของเซลล์เป้าหมายส่งผลถึงพยาธิสภาพของ โรคอย่างเด่นชัด SV จะเจริญเติบโตใน neurons และ progenies ของการเจริญโตจะถูกปล่อยออกจาก

เชลล์ก่อนที่เชลล์นั้นจะ dissociate ไปเป็น apoptotic bodies การตายของ neurons นี้ทำให้เกิด hindlimb paralysis และสัตว์ทดลองตายในที่สุด (20, 21) ในทางกลับกันถ้า neuron ซึ่งเป็นเชลล์เป้า หมายนั้นถูก experimentally induced เกิด overexpression ของ bcl-2 gene เชลล์ดังกล่าวจะ replicate ให้ลูกหลานของไวรัสออกมาและกลายเป็น persistant culture ในขณะเดียวกัน overexpression ของ bcl-2 ในสัตว์ทดลองสามารถป้องกัน apoptosis ของ SV-infected neurons และป้องกันสัตว์ทดลองนั้นจาก fatal encephalitis ได้ (22, 23)

rabies virus เป็น neurotropic virus เจริญเติบโตใน neuron และทำให้เกิด apoptosis ของเชลล์ที่ rabies virus เข้าไปเจริญเติบโต โครงการวิจัยนี้ได้เสนอที่จะทำการศึกษากลไกการตาย ของเชลล์เป้าหมายภายหลังการติดเชื้อ rabies virus โดยจะติดตามการเปลี่ยนแปลงของ genes และ proteins บางตัว เช่น ICE, Bax เป็นต้น และศึกษาบทบาทของ immunological mediators ในการ กระตุ้น apoptosis ดังกล่าว

ขั้นตอนในการทดลอง

monolayer culture of mouse neuroblastoma cells

rabies virus

infected cells were harvested at various times after infection

Detection of death mechanism

- DNA fragmentation
 (DNA laddering)
- chromatin condensation
 (DNA fluorochrom)

RNA extraction

- Upregulation of apoptotic gene (ICE) by RT-PCR
- expression of antiapoptotic
 gene (bcl-2) by RT-PCR

Proteins

- upregulation of apoptotic inducer protein (Bax) by
 Western blotting
- level of apoptotic suppressor
 protein (bcl-2) by W estern
 blotting
- activation of apoptotic
 protease (ICE) by Western
 blotting
- detection of destruction of DNA repairing system (PARP) by Western blotting

ผลการทดลอง

การศึกษาโดยใช้เซลล์เพาะเลี้ยง

1. กลไกการตายของเซลล์เพาะเลี้ยงที่ติดเชื้อ rabies virus

การศึกษาการตายของเซลล์ที่ติดเชื้อในหลอดทดลอง เพื่อจะพิสูจน์ว่าเซลล์เหล่านั้นตาย ด้วยกลไก apoptosis หรือ necrosis เซลล์ที่ตายด้วย apoptosis จะแสดงลักษณะของ DNA laddering บน electrophoresis ในขณะที่ necrotic cells จะแสดงลักษณะ smear ของ DNA mouse neuroblastoma cells ที่ติดเชื้อ แสดงลักษณะของ DNA laddering ภายใน 48 ชม. หลังจาก infection (รูปที่ 1 A) เมื่อศึกษาลักษณะของ chromatin โดยการข้อมด้วย DNA fluorochrom เซลล์ที่ติดเชื้อ แสดงลักษณะ chromatin condensation (รูปที่ 2) ในขณะที่เซลล์ปกติจะมีการกระจายของ chromatin อย่างสม่ำเสมอใน nucleus การเกิด DNA laddering และ chromatin condensation เป็นการพิสูจน์ว่า กลไกการตายแบบ apoptosis ถูกกระตุ้นภายใน mouse neuroblastoma cells ภายหลังการติดเชื้อ rabies virus

2. การติดตามการแสดงออกของ apoptotic negative/positive regulators ภายในเชลล์เพาะ เลี้ยงที่ติดเชื้อ rabies virus

จากรายงานของนักวิจัยหลาย ๆ กลุ่ม พบว่าปริมาณของ bcl-2 และ Bax ภายในเซลล์จะ เป็นตัวควบคุม survival/death pathway ของเซลล์นั้น ๆ ถ้าปริมาณ homodimer ของ bcl-2 สูงกว่า Bax homodimers ภายหลังที่ได้รับการกระตุ้น (การติดเชื้อไวรัส) เซลล์นั้นจะเข้าสู่ survival pathway แต่ถ้า Bax homodimers สูงกว่า bcl-2 เซลล์จะเข้าสู่ death pathway เพื่อดูบทบาทของโปรตีนทั้งสอง ชนิดในการควบคุม survival/death ของเซลล์ที่ติดเชื้อ rabies virus ปริมาณ Bax และ bcl-2 proteins ภายหลังการติดเชื้อในช่วงเวลาต่าง ๆ จึงถูกติดตามโดยการย้อมด้วย specific antibody โดยวิธี Western blotting และทำการประมาณปริมาณของโปรตีนทั้งสองตัว โดยใช้ความเข้มข้นที่อ่านได้จาก เครื่อง densitometer ดังแสดงในรูปที่ 3 จะเห็นได้ว่าปริมาณของ bcl-2 ไม่เปลี่ยนแปลงภายหลังการ ติดเชื้อ เมื่อเทียบกับเซลล์ที่ไม่ติดเชื้อ ในขณะที่ปริมาณของ Bax เพิ่มขึ้นอย่างมีนัยสำคัญ แสดงว่า Bax เป็น gene ตัวหนึ่งที่ควบคุมการเข้าสู่ apoptotic death ของเซลล์ที่ติดเชื้อ rabies virus

3. ติดตามการกระตุ้นการสร้างและการทำงานของ apoptotic gene (ICE) ภายในเซลล์เพาะ เลี้ยงที่ดิดเชื้อ rabies virus

ปริมาณการสร้างหรือการแสดงออกของ ICE นั้นถูกศึกษาโดยใช้ RT-PCR (ดังที่ได้ กล่าวในวิธีการทดลอง) ปริมาณ ICE specific RNA จะถูกติดตามที่ช่วงเวลาต่างๆ กันภายหลังการ ติดเชื้อ รูปที่ 4 แสดงการเพิ่มปริมาณการแสดงออกของ ICE-RNA การแสดงออกนั้นสามารถตรวจ พบได้อย่างชัดเจนเมื่อ 48 ซม. หลังการติดเชื้อ แต่ไม่พบการแสดงออกที่ 24 ซม. คาดว่าการ แสดงออกน่าจะเริ่มเปลี่ยนแปลงตั้งแต่หลัง 24 ซม. เป็นต้นไป การเพิ่มการแสดงออกของ ICE gene นั้นเห็นได้อย่างชัดเจนเมื่อเทียบกับการแสดงออกของ bcl-2 gene ซึ่งไม่มีการเปลี่ยนแปลงเลยตลอด

ระยะเวลาของการติดเชื้อ ICE ที่ถูกสร้างขึ้นมานั้น ได้ถูกเปลี่ยนไปเป็น active form โดยการตรวจหา p20 ในเซลล์ที่ติดเชื้อในช่วงเวลาต่าง ๆ กันด้วย antibody ที่เฉพาะต่อ p20 โดยวิธี Western blotting ดังแสดงในรูปที่ 5 เซลล์ที่ไม่ได้ติดเชื้อจะมีปริมาณของ pro ICE ในระดับเดียวกันตั้งแต่เริ่ม culture จนถึงประมาณ 96 ชม.หลัง culture โดยไม่พบ p20 ในขณะที่เซลล์ซึ่งติดเชื้อจะเริ่มพบ p20 ตั้งแต่ 48 ชม.หลังการติดเชื้อและยังคงพบตลอดจนจบการทดลองที่ 96 ชม.ภายหลังการติดเชื้อ

4. การศึกษาการทำลาย DNA repairing system ภายในเซลล์ที่ติดเชื้อ

เมื่อมีการเพิ่มขึ้นในการแสดงออกของ ICE gene และมีการเปลี่ยน inactive form ของ ICE ให้กลายเป็น active form ในเซลล์ที่ติดเชื้อ แสดงว่า ICE อาจจะเป็น cysteine protease ที่สำคัญ ในการทำลาย DNA repairing system ในเซลล์ที่ติดเชื้อ PARP เป็นเอ็นไซม์ตัวสำคัญตัวหนึ่งในขบวน การช่อมแซม DNA และ PARP ยังถูกพบว่าเป็น substrate ของ ICE เพื่อจะแสดงให้เห็นว่า active form ของ ICE ทำหน้าที่เป็น apoptotic protein โดยการทำลาย DNA repairing system จึงได้ทำการ ติดตามการย่อยของ PARP จาก active form (110 Kd) ให้กลายเป็น inactive form (84 Kd และ 40 Kd) โดยการใช้ antibody ที่เฉพาะต่อ 84 Kd ของ PARP เซลล์ที่ไม่ติดเชื้อจะพบ active form ของ PARP อยู่ตลอดการทดลอง (รูปที่ 6) ในขณะที่เซลล์ซึ่งติดเชื้อจะพบการทำลายของ PARP ให้ กลายเป็น inactive form ภายใน 72 ซม.หลังการติดเชื้อ จึงเห็นได้ว่าการทำลาย DNA repairing system, การ activate ICE ให้อยู่ในรูปของ active form และการเกิด DNA fragmentation เริ่มต้นใน ช่วงเวลาที่สอดคล้องกันคือระหว่าง 24-48 ซม.ภายหลังการติดเชื้อ (รูปที่ 1, 5, 6)

5. การพิสูจน์ apoptotic function ของ ICE โดยใช้ ICE inhibitor

เพื่อเป็นการพิสูจน์การทำงานของ ICE ว่าเกี่ยวข้องโดยตรงกับ apoptotic death ของ เชลล์ที่ติดเชื้อ จึงได้ทำการยับยั้ง activity ของ ICE โดยใช้ synthetic peptide ที่จับกับ active site ของ ICE แบบ irreversible แล้วติดตามวัดปริมาณ DNA fragmentation ที่เกิดขึ้นในเซลล์เพาะเลี้ยงที่ติด เชื้อโดยได้รับ synthetic peptide เปรียบเทียบกับปริมาณ DNA fragmentation ในเซลล์ที่ติดเชื้อโดย ไม่ได้รับ inhibitor ด้วยวิธีการ ELISA ดังแสดงในรูปที่ 7 ซึ่งจะเห็นได้ว่าในสภาวะที่มี inhibitor ของ ICE ปริมาณ DNA fragmentation จะเกิดขึ้นน้อยกว่าเซลล์ติดเชื้อที่ไม่ได้ยับยั้งการทำงานของ ICE เป็นข้อมูลที่แสดงให้เห็นว่า ICE หรือ interleukin-1 converting enzyme มีบทบาทโดยตรงต่อ apoptotic death ของเซลล์ที่ติดเชื้อ rabies virus

นอกจากนี้ยังได้ทดลองยับยั้งการทำงานของ protease อีกกลุ่มหนึ่ง ซึ่งพบว่ามีบทบาทด่อ การเกิด apoptosis ในหลาย ๆ system คือ CPP-32 หรือ apopain โดยใช้ synthetic peptide ซึ่งเฉพาะ ต่อ active site ของ CPP-32 พบว่าสามารถยับยั้งการเกิด DNA fragmentation ได้อย่างมีนัยสำคัญ แสดงว่าทั้ง ICE subfamily และ CED-3 subfamily ของ apoptotic proteases มีบทบาทโดยตรงต่อ apoptotic death ของเซลล์ที่ติดเชื้อ rabies viruses

สรุปและวิจารณ์ผลการทดลองในหลอดทดลอง

การติดเชื้อ rabies virus กระตุ้นให้เกิด apoptosis death ของเชลล์เป้าหมาย จากผลการ ศึกษาพบว่าขบวนการเกิด apoptosis ใน system ดังกล่าวพอจะสรุปได้ตามแผนผังที่แสดงด้านล่าง กล่าวคือเมื่อไวรัสเข้าไปเจริญเติบโตในเซลล์จะเกิดขบวนการที่กระตุ้นให้เชลล์เข้าสู่ survival pathway หรือ death pathway โดยมี bcl-2, Bax และ unidentified proteins เป็นตัวกำหนด ใน system ที่ ศึกษาพบว่าปริมาณของ Bax เป็น regulatory protein ตัวหนึ่งที่กำหนดให้เชลล์ที่ติดเชื้อ rabies virus เข้าสู่ death pathway เมื่อเข้าสู่ death pathway แล้วจะมีการกระตุ้น proteases (ICE, CPP-32) ซึ่ง เป็นตัวทำลาย DNA repairing system ในขณะที่ขบวนการ apoptosis ดำเนินอยู่นั้นจะมีการกระตุ้น การทำงานของ endonuclease ซึ่งจะเป็นเอ็นไซม์ที่ทำหน้าที่ย่อย chromosme ให้เป็น fragment ดังนั้น เมื่อ endonuclease ถูกกระตุ้นให้ทำลาย DNA และในขณะเดียวกัน DNA repairing system ก็ถูก ทำลายโดย protease เพราะฉะนั้นความเสียหายที่เกิดขึ้นต่อ DNA ของเชลล์จึงไม่มีการช่อมแชม เชลล์จึงตายในที่สุด

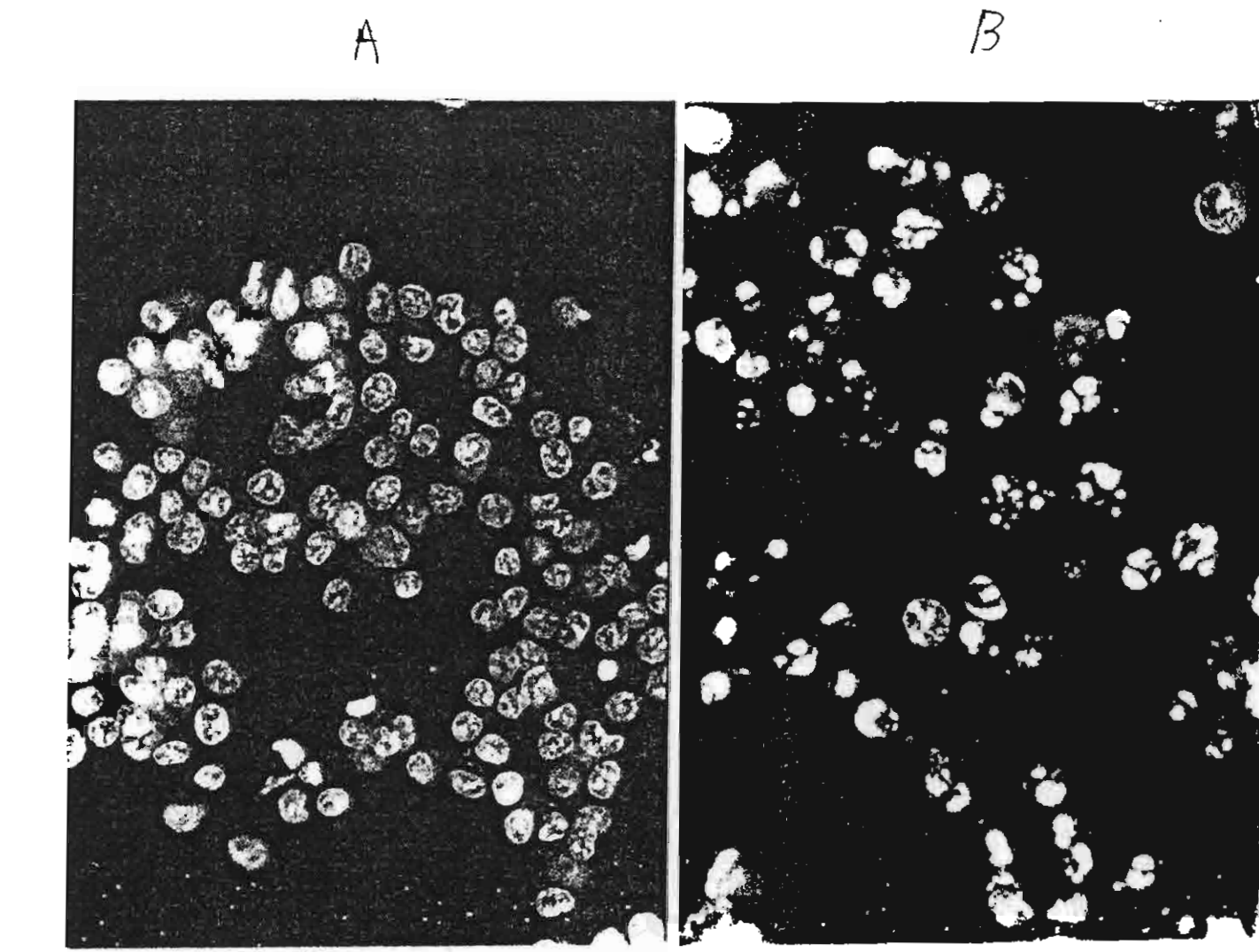
II การศึกษาการตายใน in vivo หรือในหนูทดลอง

ชั้นตอนการศึกษาและผลการศึกษาเป็นไปตาม manuscript ที่แนบมา ซึ่งได้ submit ไปแล้ว และกำลังรอ final decision จาก Journal

uninfected cells 48 hr uninfected cells 72 hr infected cells 48 hr

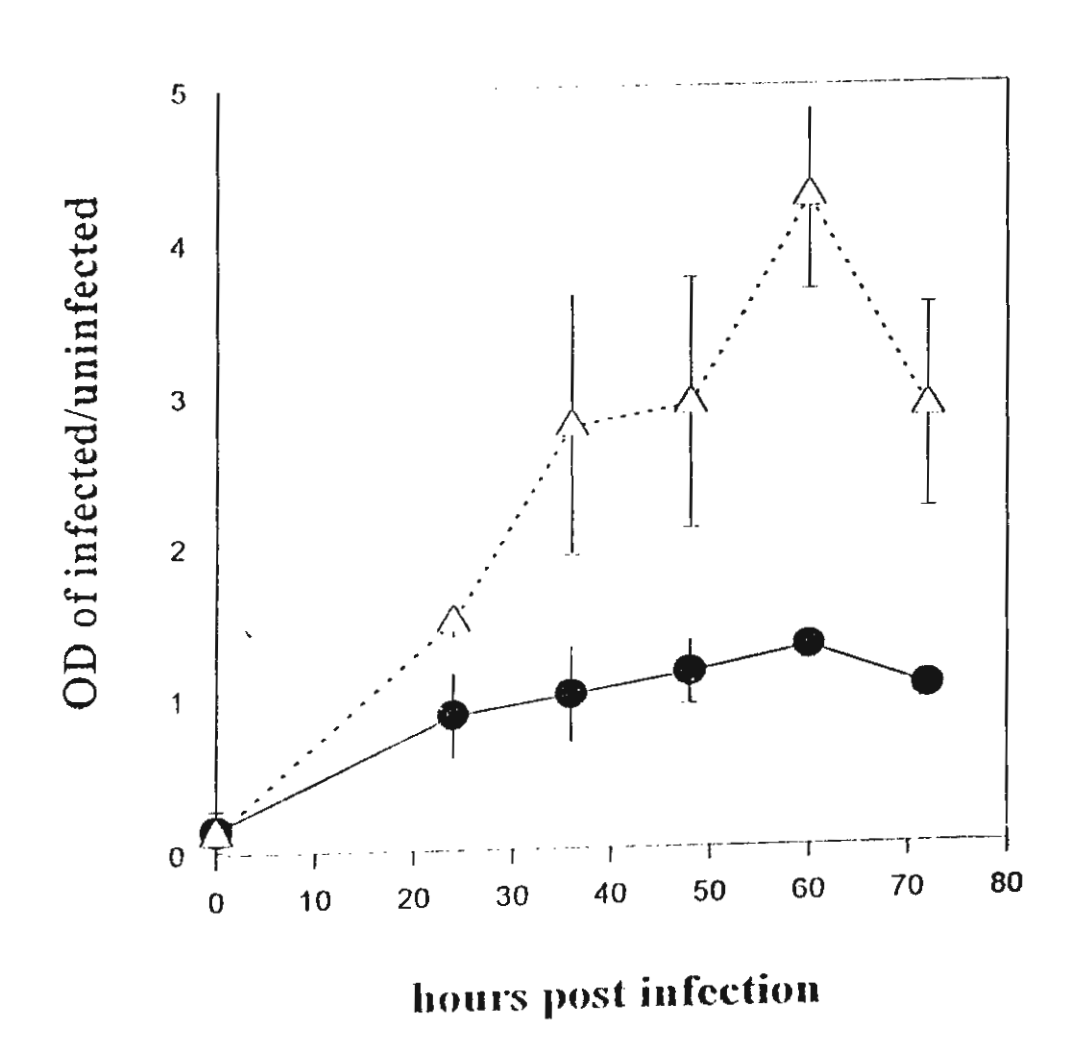


รูปที่ 1 การเกิด DNA fragmentation หรือ DNA laddering ในเชลล์เพาะเลี้ยงที่ติดเชื้อ rabies virus แสดง DNA laddering อย่างชัดเจน ภายใน 48 ชม.หลังการติดเชื้อ ในขณะที่ เชลล์ ซึ่งไม่ติดเชื้อไม่แสดง fragmentation ของ DNA



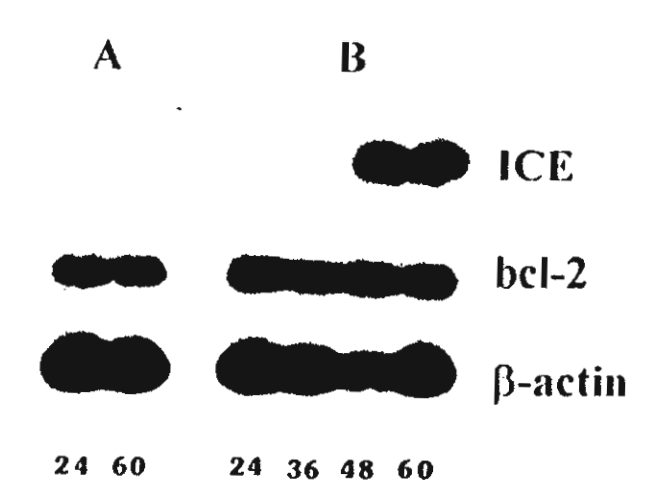
รูปที่ 2 แสดง chromatin condensation

- A. Uninfected cell : chromatin กระจายอยู่ใน mucleus อย่างสม่ำเสมอ
- B. rabies virus infected cells : เกิดการเกาะกลุ่มของ chromatin หรือ chromatin condensation



รูปที่ 3 ปริมาณการสร้าง Bax และ bcl-2 proteins ภายในเซลล์ที่ติดเชื้อ (• ----•) ไล!-2 (• ----•) เลาะ

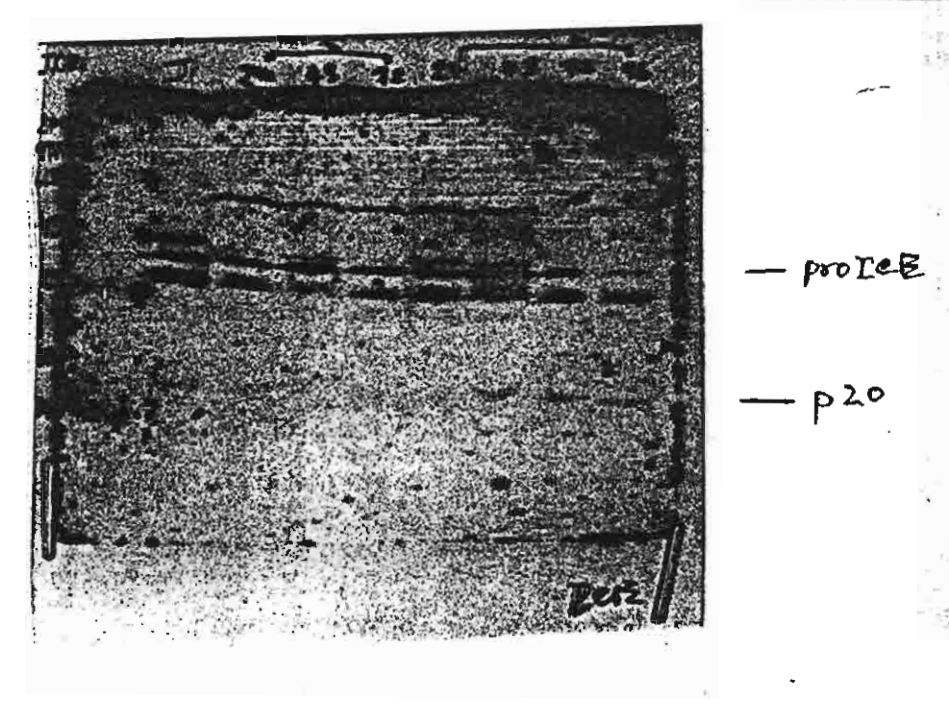
,



รูปที่ 4 แสดงการเพิ่มการแสดงออกของ ICE gene ภายหลังการติดเชื้อ เปรียบเทียบกับการ แสดงออกของ bcl-2 gene ซึ่งไม่เปลี่ยนแปลง โดยมี actin gene เป็นตัว standardize ปริมาณ DNA ที่ใช้ในแต่ละช่วงเวลา

> A = uninfected als B = infected cells

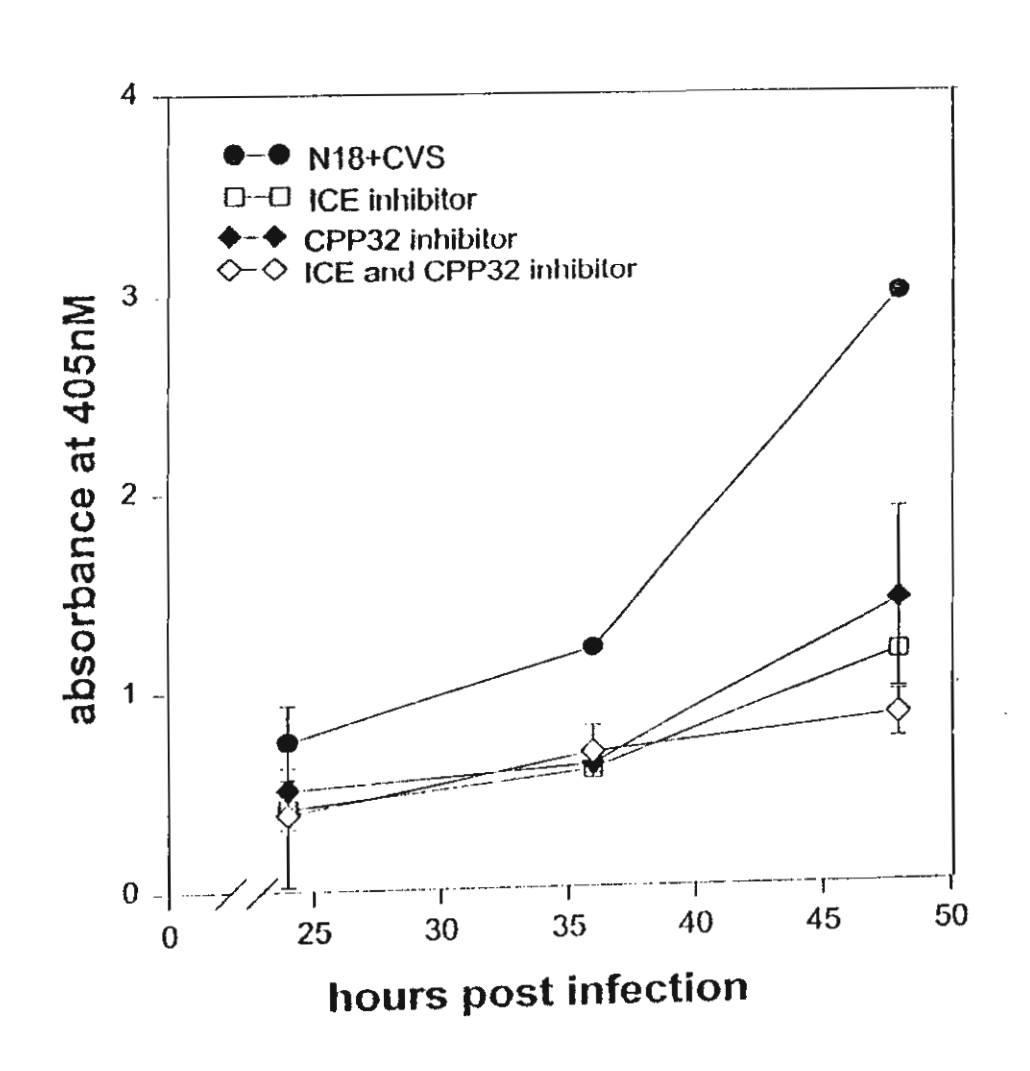
Inhert elle control
uninfected elle 45 hr
uninfected elle 45 hr
uninfected elle 72 hr
infected elle 72 hr
infected elle 14 hr
infected elle 14 hr
infected elle 14 hr
infected elle 92 hr



รูปที่ 5 การตรวจหา active form (p20) ของ ICE ในเซลล์ที่ติดเชื้อเทียบกับเซลล์ที่ไม่ติดเชื้อ

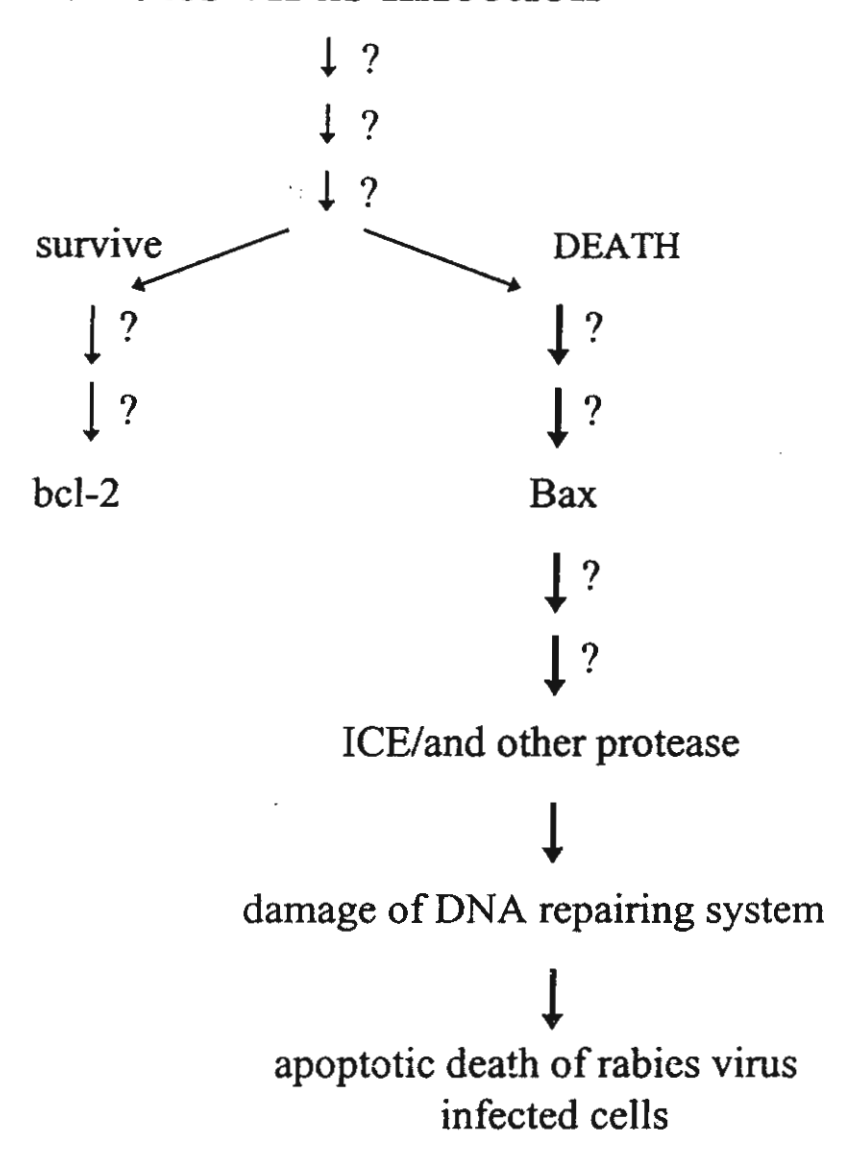
uninfected cells 24 hr
uninfected cells 48 hr
uninfected cells 72 hr
uninfected cells 96 hr
infected cells 24 hr
infected cells 48 hr
infected cells 72 hr
infected cells 72 hr
infected cells 72 hr
infected cells 96 hr

รูปที่ 6 การติดตามการทำลายของ poly (ADP-ribose) polymerase ในเซลล์ที่ติดเชื้อเปรียบ เทียบกับเซลล์ปกติที่เวลาต่าง ๆ กัน



รูปที่ 7 การยับยั้งการเกิด DNA fragmentation ของ ICE inhibitor และ CPP-32 inhibitor

Rabies virus infection



แผนผังแสดง death pathway ที่เกิดขึ้นใน mouse neuroblastoma cells ซึ่งติดเชื้อโรคพิษสุนัขบ้า

เอกสารอ้างอิงในส่วนของการศึกษาในหลอดทดลอง

- Dietzchold B, Rupprecht CE, Fu ZF, Koprowski H: Rhabdovirus. In Fields virology, Vol 1, edn 3. Edited by Fields BN, Knipe DM, Howley PM, chanock RM, Melnick JL, Monath TP, Roizman B. Philadelphia: Lippincott Raven Publishers; 1996; 1137-1159.
- World Health Organization: World survey of rabies 30 (for the year 1993). World Health Organization unpublished document, WHO/EMC/ZOO/96.2.
- 3. Hemachudha T. and Phuapradit P. Curr. Opin. Neuro. 10: 260-267, 1997.
- 4. Iwasaki Y, Gerland W, Clark HF. Infect. Immu. 18: 220-225, 1997.
- 5. Smith JS, McCleland CL, Ried FL, Bear Gm. Infect. Immu. 35: 213-221, 1982.
- Sugamata M, Miyazawa M, Mori S, Spangrucle GI, Ewalt LC, Lodmell DL. J. Virol. 66: 1252-1260, 1992.
- 7. Hemacludha T: Rabies. In Handbook of Clinical Neurology. Edited by Vinken PJ, Bruyn GW, Klawans HL. Elesevier Science, Amsterdam, 1989: 383-404.
- 8. Xiang ZQ, Knowles BB, Mc Carrick JW, Ertl HC. Virol. 214: 398-404, 1995.
- 9. Marquette C, Ceccaldi P-E, Ban E, Webr P, Tsiang H, Haour F. Arch. Virol. 141: 573-585, 1996.
- Dumrongphol H, Srikiathhachorn H, Hemacburdha T, Kotchabhakdi N, Govitrapong P.
 J. Neurol. Sci. 131: 1-6, 1996.
- Marquette C, Van Dam A-M, Ceecalid P.M, Weber P, Haour F, Tsiang H. J. Neurol. Immunol. 68: 45-51, 1996.
- Linthorst ACE, Flachskamm C, Holsboer F, Reul JMH. Endocrinology 135: 520-532, 1994.
- Saperstein A, Brand H, Audhya T, Nabriski D, Hutchinson B, Rosenzweig S, Hollander
 CS. Endocrinology 130: 152-158, 1992.
- 14. Dietzschold B, Weenner WH, Wiktor TJ. PNAS 80: 70-74, 1983.
- 15. Kucera P, Dolivo M, Coulon P, Flamand A. J. Virol. 55: 158-164, 1985.
- 16. Morimoto K, Ni YJ, Kawai A. Virol. 189: 203-216, 1992.
- 17. Jackson AC, Rossiter JP. J. Virol. 71: 5603-5607, 1997.
- 18. Boudet F, Lecocur H, Gougenon ML. J. Immunol. 156: 2282, 1996.
- 19. Ameisen JC, Estaquier J, Edziorck T. Immunol. Rev. 142: 9-51, 1994.
- 20. Jackson AC, Moench TR, Guffin DE, Johnson RT. Lab Invest. 56: 418-423, 1987.
- 21. Lewis J, wesslingh SL, Guffin DE, Hardrick JM. J. Virol. 70: 1828-1835, 1996.

- 22. Levine B, hardwick JM, Trapp BD, Crawford TO, Bollinger RC, Guiffin DE. Science 254, 856-860, 1996.
- 23. Levine B, Goldman JE, Jiang HH, Griffin DE, Hardwick JM. PNAS 93: 4810-4815, 1996.

Apoptosis induction in brain during the fixed strain of rabies virus infection correlates with onset and severity of illness

Sompon Teerasurakarn and Sukathida Ubol*

Department of Microbiology,
Faculty of Science, Mahidol University,
RAMA VI Road, Bangkok 10400, Thailand.

Running title: rabies virus and apoptosis, rabies pathogenesis

* Correspondence: Dr. Sukathida Ubol

Fax: (662) 6445411, e-mail: scsul@mucc. mahidol. ac.th

Abstract

Viruses such as HIV, influenza, picornavirus and others are known stimulators of apoptosis. This individual cellular elimination is a preferential host defense in regenerative tissues. In contrast, if this death occurred in nonregenerating cells, such as neurons of the central nervous system, may result in disease. The target cell for rabies virus is the neuron. Here we studied the outcome of the interaction between rabies virus (CVS-11) and mouse brain cells. Replication of rabies virus in suckling mouse brain cells resulted in brain cell apoptosis, detected by DNA fragmentation and in situ apoptosis within 25 hr after infection and before evidence of intracerebral immune activation. Cell death occurred simultaneously with rabies virus replication. There were clinical signs of illness in infected newborn mice within 24 hr after the appearance of DNA fragmentation and before infiltration by lymphocytes. This suggested that onset of illness started independently of the immune function. This conclusion was supported by the occurrence of massive apoptosis followed by paralysis in rabies virus-infected immunosuppressed mice. Direct, viral- induced, neuronal apoptosis was the earliest death mechanism detected in these mice. We propose that pathogenesis of this fixed strain of rabies virus in mice begins with the induction of apoptosis by rabies virus replication. Cerebral damage may then be amplified by immunological mechanisms plus an additional unidentified factor. This is followed by increased permeability of the blood brain barrier.

Introduction

There are two major types of cell death: apoptosis and necrosis (Sander et al, 1995). Apoptosis is an active process which occurs through an evolutionarily conserved program. Cells undergoing apoptosis are characterized by membrane blebbing, cellular shrinkage, chromatin condensation, and chromosomal DNA fragmentation into oligonucleosomes (Schwartzman et al, 1993; Jones et al, 1989). In the final stage, an apoptotic cell breaks down into apoptotic bodies (Wyllie 1981). This type of death involves activation of certain enzymes and the upregulation of specific genes. Apoptosis is considered an individual cell death since it does not induce damage to neighboring cells. In contrast to apoptosis, necrosis depends mainly on autolytic activities of intrinsic cellular enzymes. Death by necrosis induces damage to nearby cells.

Viruses have recently been shown to trigger apoptosis. Human immunodeficiency virus (HIV) was postulated to cause immune suppression by inducing programmed cell death of CD4⁺ lymphocytes (Laurent-Crawford et al, 1993). Influenza virus can trigger apoptosis in alveolar cells and bronchial/bronchiolar epithelial cells (Mori et al, 1995). Sindbis virus (SV) can induce neuronal cell death by apoptosis (Levine et al, 1993; Ubol et al, 1994). Apoptosis is considered a natural host defense mechanism, since it may play a role in decreasing the rate of viral spread from infected cells (Clem et al, 1993). However, after a long adaptation to host cells, viruses seem to be able to overcome this type of host defense. For example, a virus with a large genome, such as baculovirus, takes a certain amount of time to generate progeny. Therefore, baculovirus has acquired the p35 gene to block apoptosis and ensure complete viral progeny production (Clem et al, 1993; Clem et al, 1994). Viruses with a small genome will complete replication and release viral progeny before the death of host cells by apoptosis (Levine et al, 1993). Inefficient viral blockage and apoptotic induction of nonregenerating cells could be responsible for disease progression. Lewis et al have shown that the ability of SV to induce apoptosis in neurons correlates with mortality in mice (Lewis et al, 1996).

The pathogenesis of rabies includes encephalitis and paralysis. This may be the consequence of the direct effect of the virus on infected neurons combined with

activation of immune mediators. The direct roll of rabies virus in host cell damage is unclear. There is no evidence of necrosis or neurophagia in the infected brains of immunosuppressed mice (Smith et al, 1982). However, direct damage by rabies virus on neural cells has been shown in vitro. Replication of rabies virus strain 1820B in embryonic chick myotubes induces morphological changes consistent with apoptosis, including myotube shrinkage, small surface blebs, and irregularities under phase microscopy (Bare et al, 1991). Using advanced flow cytometry, Marcovitz et al. were able to detect apoptosis outside the nervous system of rabies virus infected mice (Marcovitz et al, 1994). This raises the possibility that a part of the pathogenesis of rabies infection may be due to induction of apoptosis in infected neurons. In this study a fixed strain of rabies virus, CVS-11, was selected since it is derived from street rabies virus and is believed to induce pathophysiologic changes similar to infection by street rabies virus. We studied changes in brain cells of suckling mice, immunocompetent and immunosuppressed adult mice during infection by CVS-11 in order to answer whether rabies virus infection can lead to apoptosis of brain cells and whether apoptotic induction in rabies virus infected brain cells correlates with the severity of infection.

Results

Replication of rabies virus in mouse neuroblastoma cells, an undifferentiated neuronal cell line, caused apoptosis within 48 hr after infection as shown by DNA fragmentation in Fig.1A. This provided evidence that rabies virus could induce apoptosis in target cells. A similar experiment was performed in suckling mice to answer whether this phenomenon occured in the central nervous system *in vivo*. As shown in Fig. 1B, DNA laddering was first detected from infected brains at 25 hr post infection, while sham inoculated mice did not show any signs of DNA fragmentation. This experiment was repeated three times with three sets of mice and the same results were obtained that apoptosis of infected brains could be detected as early as 25 hr after infection. Apoptosis in rabies virus infected brain was confirmed by the *in situ* TUNEL assay. As shown in Fig. 2B-C, infected brains at 24 hr and 72 hr post infection exhibited abundant signals of nuclear TUNEL staining while TUNEL assays on brains of control mice were uniformly negative (Fig. 2A). These

results showed that neuronal apoptosis could be triggered during rabies virus infection.

Apoptosis occured *in vitro* as a direct effect of rabies virus on target cells. However, in infected suckling mice, this phenomenon might be due to many factors such as immune mediators. CD₈⁺-lymphocytes and certain cytokines like TNF have been shown to induce apoptosis in target cells (Kagi *et al*, 1994; Lowin *et al*, 1994; Walsh *et al*, 1994; Ware *et al*, 1996). To determine any effect of the cellular immune response on apoptotic induction in rabies virus infected mice, the correlation between lymphocyte infiltration and appearance of DNA laddering was monitored. As showed in table 1 the histopathological examination of an extravascular lymphocyte infiltration of rabies virus-infected brains at 18, 25, and 48 hr after infection were not observed. Mice developed signs of illness after brain cells entered programmed cell death and before the appearance of lymphocyte infiltration. Therefore the onset of illness correlated with induction of apoptosis detected by both DNA laddering and *in situ* TUNEL staining (Fig.2).

Upregulation of inflammatory cytokine genes in infected brain was also studied, since these soluble molecules may be responsible for progression to programmed cell death. By using semiquantitative RT-PCR, upregulation of mRNA for IL- 1_{β} and TNF $_{\alpha}$ was detected at 48 hr after infection while the expression of IFN $_{\gamma}$ mRNA was increased by 36 hr (Fig 3A and B). This, intracerebral upregulation of apoptotic related cytokine genes occurred after DNA laddering.

Informations obtained from study in rabies virus-infected suckling mice suggested that apoptosis is an earliest detected death of brain cells and is independent of immune mediators. To disprove the role of the immune responses as a apoptotic inducer and as a primary cause of rabies, development of rabies was studied in rabies virus-infected, immunosuppressed, adult mice in comparison to immunocompetent mice. Infected adult mice had paralysis by day 7. Immunosuppressed mice developed sign of illness in the presence of an undetectable level of an antibody and cellular responses to rabies which were detected by RIFFIT and lymphocyte stimulation respectively (data not shown). By contrast, massive apoptosis was found in their brains (Fig. 4 A and C). The intensity

of the apoptotic signal was not different between infected immunosuppressed and immunocompetent mice as shown in Fig.4 A-D.

The ability of rabies virus to activate apoptosis in nerve cells directly was studied by determining the correlation between induction of apoptosis and growt 1 of rabies virus in infected brains. The kinetics of rabies virus replication in infected brains was studied by Fluorescent Foci staining. Increased production of viral progeny occurred in parallel with DNA laddering (Fig.5B). The appearance of DNA laddering (Fig.5A) was observed after the first replication cycle was completed.

Discussion

This study demonstrated for the first time that a fixed strain of rabies virus triggered apoptosis in newborn mice and in immunosuppressed and immunocompetent adult mice brain cells. This was detected by DNA laddering and by in situ apoptotic staining. In newborn mice, induction of apoptosis occurred before lymphocyte infiltration and activation of cytokine production in infected brains. This finding indicated that immune components were not necessary for the progression of neural cells to programmed cell death after rabies virus infection. Indeed, the appearance of apoptosis correlated with viral replication. This process is supported by Sindbis virus-induced apoptosis in neuroblastoma cells in which flow cytometry indicated no evidence of apoptosis until viral replication had reached the stage of new virion formation (Ubol et al. 1996).

This study also demonstrated that signs of illness in infected suckling mice developed after brain cells entered programmed cell death and before activation of immune responses. This data suggested that the onset of acute encephalitis in newborn mice during rabies virus infection may be dependent on the ability of the virus to directly induce brain cell apoptosis. Our findings are similar to reports for Sindbis virus (SV) infection. SV, an alphavirus, causes age-dependent encephalitis. Young mice are more susceptible to SV infection than older mice (Johnson et al, 1972). It has been demonstrated that the age affect on susceptibility is not due to an inadequate or immature immune response in the newborn mice but rather due to the increased susceptibility of immature neurons to apoptosis induction (Levine et al,

1993; Wesselingh et al, 1994; Griffin 1995). Experimentally induced over expression of antiapoptotic gene, bcl-2, inhibits apoptosis and protects newborn mice from fatal infection by SV (Levine et al, 1996). This supports the hypothesis that acute encephalitis in SV-infected newborn mice starts with apoptotic death of infected neurons which is triggered during SV replication. In rabies, age-dependent illness is not significant, both newborn and adult mice die of rabies. However, newborn mice die faster. Our data showed that apoptosis is not only a major mechanism of brain death in newborn mice, but that it can also be triggered in immunosuppressed and immunocompetent adult mice.

Rabies in adult mice and humans manifests as two clinical forms: paralysis and encephalitis. Immunosuppressed mice and athymic mice develop encephalitic illness. This encephalitis occurs concomitantly with increased viral replication and destruction of neurons in the absence of detectable immune mediators (Iwasaki et al, 1977; Smith et al, 1982). Therefore, encephalitic rabies in adult mice seems to be a direct effect of the rabies virus. Paralytic rabies is found in immunocompetent mice only. Passive transfer of immune sera and activated lymphocytes to immunosuppressed mice results in paralysis and early death (Smith et al, 1982; Sugamata et al, 1992).

Information from the mouse model contradicts what has been reported in human rabies. Hemachudha et al have found a defect in activation of the immune process in human paralytic rabies patients, while encephalitic patients have an active immune response to rabies (Hemachudha 1988; Hemachudha et al, 1989). This raises questions whether the immune responses is significant in rabies pathogenesis and whether the pathogenesis processes differ in mice and man. A study in immunosuppressed adult mice showed that illness can be developed due to apoptosis of brain cells progressing to paralysis in the absence of a T and B cell response. This suggested that factors such as the strain of rabies virus and individual imbalances of neuronal function and other unidentified factor may determine clinical manifestation.

Our study led to the hypothesis that pathogenesis in mice infected with this fixed strain of rabies virus may be divided into two phases. The first phase is the result of interaction between rabies virus and host cells. Rabies virus disseminates from the primary infection site, enters and replicates in the CNS leading to apoptosis

of brain cells. Pathogenesis begins as a consequence of viral induced neuronal death. Infiltration of immunological components through the blood-brain barrier and activation of intrinsic local immune responses may play a dual function. Immune responses may limit viral spread. However, these immunological factors may also amplify the severity of brain death. Such an immunological attack on brain cells, including damage from other unidentified mechanisms may represent a second phase of illness.

Materials and Methods

Cell cultures

Mouse neuroblastoma cells (N18) were obtained from the Johns Hopkins University. Both N18 cells and BHK-21 cells were cultured in DMEM supplemented with 10% FBS, pennicillin, and streptomycin.

Virus

A fixed strain of rabies virus (CVS-11) from The Queen Soavabha Memorial Institute was used in this study. Rabies viruses in brain suspension were propagated in N18 cells. Supernatant fluid of infected cultures was clarified by centrifugation at 2,000 rpm, at 4°C for 5 min and stored in aliquots at -70°C. Stock viruses were assayed by Fluorescent Foci staining on BHK-21 cells and had titers of approximately 10⁷ pfu/ml

Animal infection

Litters of 1-day-old Swiss albino mice were inoculated intracerebrally with diluted rabies virus (0.02 ml of 10⁵ pfu/ml). Mice received diluent only were used as a negative control. The infected mice were chloroform euthanized and brains were harvested at various times after infection. These harvested brains were used as samples for apoptotic detection, upregulation of proinflammatory cytokine genes, and lymphocyte infiltration studies. Because of a small size of 1-day-old mouse brain, each of the above experiments was performed on different mice within the same litter.

Detection of apoptosis in rabies virus infected brains and infected mouse neuroblastoma cells

Infected brains, one mouse brain at each time point, were homogenized in lysis buffer containing 100mM TRIS-HCL pH8.0, 0.5% SDS, and 25mM EDTA. Homogenates were then treated with proteinase K (0.1 mg/ml) overnight at 56°C. Total DNA was extracted with phenol-chloroform and precipitated with absolute ethanol. RNA was eliminated from DNA by RNase digestion (0.1 mg/ml) for 1 hr. at

37°C. Extracted DNA was analyzed by 1.8% agarose gel electrophoresis. DNA from cells undergoing apoptosis give a characteristic DNA laddering of 180-200 bp fragments.

Detection of chromosomal cleavage in rabies virus infected mouse neuroblastoma cells was performed by a similar procedure. The infected cells were harvested at various times as indicated and were lysed in lysis buffer. The lysates were treated and processed as described.

Detection of apoptosis in immunosuppressed mice

Four-week-old male and female adult mice were immunosuppressed by intraperitoneal injection with 3 doses of Cytoxan (3 mg/mouse, Mead Johnson), on day 1, 4, and 7 after virus inoculation. Brains were harvested at various times and fixed with 4% paraformaldehyde for 48 hr and embedded in paraffin and sectioned. Sections were used for apoptotsis detection by the TUNEL assay.

Lymphocyte infiltration study

Rabies-virus-infected suckling mice were chloroform euthanized without perfusion. Brains were removed, paraformaldehyde fixed for 48 hr, embedded in paraffin, and sectioned. Sequential sections were stained by hematoxylin and eosin. Extravascular infiltration of lymphocytes was evaluated by the presence of perivascular cuffing observed using light microscopy. Five constitutive sections from forc brain, mid brain, and hind brain were examined. Twenty fields were examined for each section.

Detection of upregulation of proinflammatory cytokine mRNA by RT-PCR

Infected suckling mouse brains were homogenized in RNase-free PBS. Total RNA was isolated from homogenized brains using TRIZOL(GIBCO) as recommended by the manufacturer. The portion of extracted RNA was subjected to first strand cDNA synthesis as described by Wesseling *et al.*, 1994. In brief, 20 µg of extracted RNA was used in a 20 µl reaction mixture for cDNA synthesis containing 2.5 units of AMV reverse transcriptase, reverse transcriptase specific buffer as supplied by the manufacturer, 1mM of each dNTP, 20 µg/ ml oligo dT, and 1 unit of

RNase inhibitor. The first strand cDNA was synthesized at 42° C for 1 hr. After completion of synthesis, the reaction was diluted to $100 \,\mu$ l with distilled water and was used for each PCR reaction.

The PCR reaction (50μl) contained 200μM of each dNTP, 2.5 units Taq polymerase (Perkin-Elmer), buffer as supplied by the manufacturer, 1μM of each specific primer (Wesselingh et al ,1994). A Gene Amp PCR system 2400 thermal cycle (Perkin-Elmer, Cetus Corp) was used. The PCR conditions were optimized for each set of primers and the products were analyzed by gel electrophoresis. The purified cDNA from Sindbis virus infected mouse brains (kindly provided by Diane Griffin, Johns Hopkins University) and the cDNA from PHA-stimulated mouse spleen cells were used as positive controls. The β-actin gene was used as an internal control.

For detection of IFN₇ mRNA, the amplified products were hybridized with the ³²P-IFN₇ probe as described by Wessling *et al.* Specifically, 20 µl of PCR product was electrophoresed through 1.8% agarose gel and transferred onto a membrane (Nytran-plus, S&S). Filters were prehybridised in hybridizing buffer containing 5x SSC, 0.1% blocking reagent (Boerhinger Mannhein), 0.1% N-laurylsarkosine, and 0.02% SDS at 50°C for 2 hr. Hybridization was performed in the same buffer at 60°C overnight. An oligonucleotide probe specific to IFN₇ (Wesseling *et al.*, 1994) was radiolabelled with ³²P-ATP using T4 kinase. After hybridization, filters were washed 3 times in 2xSSC and 0.1% SDS at 60°C and finally in 0.1x SSC and 0.1% SDS at the same temperature before autoradiography.

Virus titration

Viruses from infected brains were determined by fluorescent staining of foci of infected BHK-21 cells. Briefly, infected brains were harvested, homogenized and centrifuged at 2,000 rpm for 5 min at 4°C. Then 50 µl of ten-fold dilutions of the supernatant were inoculated onto BHK-21 cells in a 96 well plate. After overnight incubation, infected cultures were washed, fixed with cold 70% acetone, and stained with fluorescein-conjugated anti-rabies antibody (Becton Dickinson Company, USA). The number of fluorescent positive cells in each well at each dilution were counted. The viral titer was expressed as number of fluorescent foci per milliliter.

TUNEL assay

The TUNEL (terminal deoxynucleotidyltransferase-mediated dUTP nick end labeling) staining was used to detect apoptotic nuclei by the addition of fluorescein-labeled dUTP to the endonucleolytically cleaved DNA ends by terminal transferase. It was performed as recommended by the manufacturer (Boehringer Mannhein). Briefly, sections of infected-paraffinized brains were deparaffinized, rehydrated, and permeabilized by incubation in 10 µg of proteinase K per ml for 15 min at room temperature and washed twice for 5 min in PBS. Tissues were covered with 50 µl of a TUNEL reaction mixture containing, deoxynucleotidyl transferase, nucleotide mixture (including fluorescein-labeled dUTP), and reaction buffer for 60 min at 37°C. The reaction was terminated by washing samples twice in PBS. Then, 50 µl of anti-fluorescein antibody conjugated with alkaline phosphatase was added to the treated tissue section and incubated for 60 min at 37°C. The sections were then washed twice with PBS and color was developed by addition of 4-nitroblue tetrazolium chloride and X-phosphate as substrates.

Acknowledgements

We thank Dr. Henry Wilde (Queen Soavabha Memorial Institute) for helpful discussions and critical reading of this manuscript. We also thank Dr. Witaya Thamavit for microscopic observations of brain sections and Dr. T.W. Flegel for editing the manuscript. This work was supported by The Thailand Research Fund.

Legends of figures

- Fig.1 A. Detection of DNA laddering of rabies virus-infected mouse neuroblastoma cells (harvested at 24, 48, 60, 72, and 84 hr after infection; lane 3, 4, 5, 6, 7 respectively). The neuroblastoma cells were infected with rabies virus at an MOI of 1. Lane2 represented an uninfected culture harvested at 72 hr after culture initiation. Lane 1 is a molecular weight marker.
 - B. DNA fragmentation analysis of rabies virus-infected suckling mouse brains at 12, 25, 48, and 72 hr after infection (lane 3, 4, 5, and 6) and sham inoculated mouse brain at 72 hr (lane 2). Lane 1 is a molecular weight marker.
- Fig.2 In situ detection (TUNEL assay) of apoptotic cells in suckling mouse brains infected with CVS-11 at 24 and 72 hrs post infection (B and C). The TUNEL assay on brain tissues from sham inoculated mice is negative control (A). Original magnification X 200
- Fig.3 Detection of mRNA coding for inflammatory cytokines by semiquantitative RT-PCR. The mRNA for IL-1_β and TNF_α (A) and IFN_γ (B) were reverse transcribed, amplified, and analyzed by electrophoresis. For IFN_γ, the amplified products were hybridized with ³²P-IFN_γ probe. The amount of cDNA used at each time point was standardized to the level of the β-actin gene.
- Fig.4 TUNEL assay in immunosuppressed and immunocompetent mouse brains infected with CVS-11 at day7 after infection. Apoptotic cells are abundant in cerebellum and cerebrum of immunosuppressed (A and C) and immunocompetent mice (B and D). E and F are negative controls of cerebellum and cerebrum respectively. Original magnification X100

- Fig. 5 A. DNA fragmentation analysis of rabies virus-infected suckling mouse brains at 12, 18, 25, 30, 54, 66, and 78 hr after infection (lane 3,4,5,6,7,8, and 9) and sham inoculated mouse brain at 78 hr.(lane 2). Lane 1 is molecular weight marker.
 - B. Kinetics of rabies virus replication in suckling mouse brain. Rabies virus infected brains were harvested and the amount of virus was detected by fluorescent staining of BHK-21 cells.

Table I Correlation between apoptosis induction, lymphocyte infiltration, and severity of infection in CVS-11-infected suckling mice.

| Hours post infection | DNA fragmentation | lymphocyte* infiltration | Severity of ** infection |
|----------------------|----------------------|--------------------------|--------------------------|
| | | | |
| 25 | Yes | No | - |
| 48 | Yes | No | +/++ |
| 60 | Yes | ND | +++ |
| 72 | Yes | ND | ++++ |

- * Lymphocyte infiltration was determined by the presence or absence of perivascular cuffing.
- ** Severity of infection was graded as follows.
 - = absence of clinical signs
 - +/++ = mild clinical signs
 - +++ = severe illness
 - ++++= moribund.
 - ND = not done

References

- Baer GM, Lentz TL (1991). Rabies pathogenesis to the central nervous system. In: The Natural History of Rabies, Baer GM(ed), 2nd edition. CRC Press, Boston, pp 105-118
- Clem RJ, Miller LK (1994). Control of programmed death by the baculovirus gene.

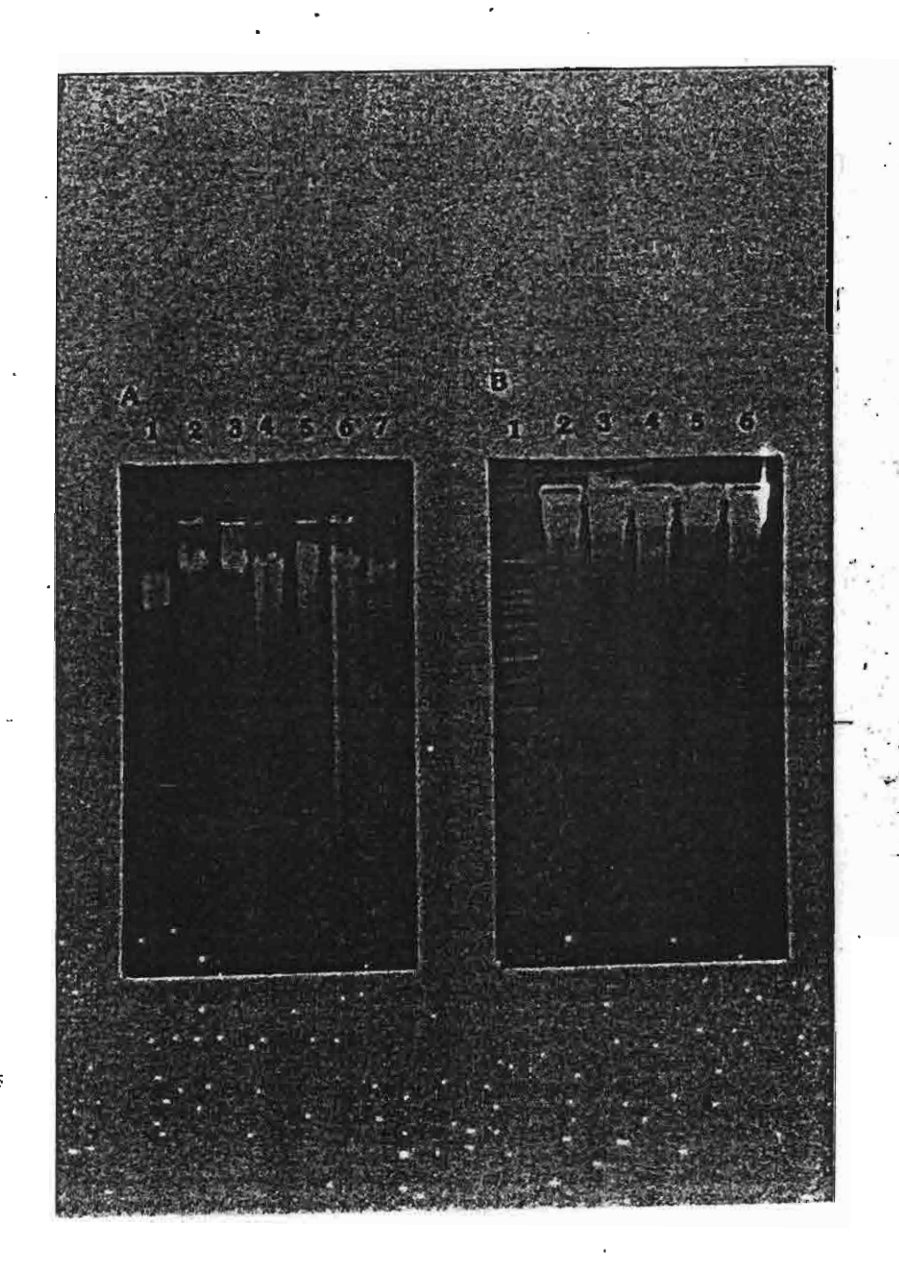
 Mol Cell Biol 14: 5212-5222.
- Clem RJ, Miller LK (1993). Apoptosis reduces both the in vitro replication and the in vivo infection of a baculovirus. *J Virol* 67: 3730-3738.
- Griffin DE (1995). The Gordon Wilson Lecture: Unique interactions between viruses, neurons and the immune system. *Trans Amer Clin & Climato Asso.* 107: 89-98.
- Hemachudha T (1989). Rabies. In: Handbook of Clinical Neurology, Vinken PJ, Bruyn GW, Klawans HL, (eds.) Elsevier Science, Amsterdam, pp. 383-404.
- Hemachudha T, Phanuphak P, Sriwanthana B (1988). Immunologic study of human encephalitic and paralytic rabies. A preliminary of 16 patients. Am J Med 84: 673-677.
- Iwasaki Y, Gerland W, Clark HF (1977). Role of host immune response in the development of either encephalitic or paralytic disease after experimental rabies infection in mice. *Infect Immun* 18: 220-225.
- Johnson RT, McFarland HF, Levy SE (1972). Age-dependent resistance to viral encephalitis: Studies of infection due to resistance to Sindbis virus in mice. J Infect Dis 125: 257-262.
- Jones DP, McConkey DJ, Micotera P, Orrenius S (1989). Calcium-activated DNA fragmentation in rat liver nuclei. *J Biol Chem* 264: 6398-6403.
- Kagi D, Vignaux F, Ledermann B, Burki K, Depraetere V, Nagata S, Hengartuer H, Golstein P (1994). Fas and perforin pathways as major mechanisms of T cellmediated cytotoxicity. Science 265: 528-530.

- Laurent-Crawford AG, Krust B, Muller S, Riviere Y, Rey-Cuille MA, Bechet JM, Montagnier L, Hovanessian AG (1991). The cytopathic effect of HIV is associated with apoptosis. *Virology* 185: 829-839.
- Levine B, Goldman JE, Jiang HH, Griffin DE, Hardwick JM (1996). Bcl-2 protects mice against fatal alphavirus encephalitis. *Proc Natl Acad Sci USA* 93: 4810-4815.
- Levine B, Huang Q, Isaacs JT, Reed JC, Griffin DE, Hardwick JM (1993). Conversion of lytic to persistent alphavirus infection by the bcl-2 cellular oncogene. *Nature* 361: 739-742.
- Lewis J, Wesselingh SL, Griffin DE, Hardwick JM (1996). Alphavirus-induced apoptosis in mouse brains correlates with neurovirulence. J Virol 70: 1828-1835.
- Lowin B, Hahne M, Mattmann C, Tschopp J (1994). Cytolytic T-cell cytotoxicity is mediated through perforin and Fas lytic pathways. *Nature* 370: 650-652.
- Marcovistz R, Bertho AL, Matos DCS (1994). Relationship between apoptosis and thymocyte depletion in rabies-infected mice. *Brazilian J Med Biol Res* 27: 1599-1603.
- Mori I, Komatsu T, Takeuchi K, Kazuya N, Sudo M, Kimura Y (1995). In vivo induction of apoptosis by influenza virus. *J Gen Virol* 76: 2869-2873.
- Sanders EJ, Wride MA (1995). Programmed cell death in development. *Inter Rev* Cyto 163: 105-153.
- Schwartzman RA, Cidlowski JA (1993). Apoptosis: The biochemistry and molecular biology of programmed cell death. *Endocrine Reviews* 14: 133-151.
- Smith JS, McClelland CL, Ried FL, Bear GM (1982). Dual role of the immune response in street rabies virus infection of mice. *Infect Immun* 35: 213-221.

- Sugamata M, Miyazawa M, Mori S, Spangrude GJ, Ewalt LC, Lodmell DL (1992).

 Paralysis of street rabies virus-infected mice is dependent on T lymphocytes.

 J Virol 66:1252-1260.
- Ubol S, Park S, Budihardjo I, Desnoyers S, Montrose MH, Poirier GG, Kaufmann SH, Griffin DE (1996). Temporal changes in chromatin, intracellular calcium and poly (ADP-ribose) polymerase during Sindbis virus-induced apoptosis of neuroblastoma cells. *J Virol* 70: 2215-2220.
- Ubol S, Tucker PC, Griffin DE, Hardwick JM (1994). Neurovirulent strains of alphavirus induce apoptosis in bcl-2-expressing cells; role of a single amino acid change in the E2 glycoprotein. *Proc Natl Acad Sci USA* 91: 5202-5206.
- Walsh CM, Matloubian M, Lin C-C, Ueda R, Kurahara CG, Christensen JL, Huang MTF, Young JDE, Ahmed R, Clark WR (1994). Immune function in mice lacking the perforin gene. *Proc Natl Acad Sci USA* 91: 10854-10858.
- Ware CF, VanArsdale S, VanArsdale TL (1996). Apoptosis mediated by the TNF related cytokine and receptor families. *J Cell Biochem* 60: 47-55.
- Wesselingh SL, Levine B, Fox RJ, Choi S, Griffin DE (1994). Intracerebral cytokine mRNA expression during fatal and nonfatal Alphavirus encephalitis suggests a predominant type 2 T cell response. *J Immunol* 152: 1289-1297.
- Wyllie AH (1981). Cell death: a new classification separating apoptosis from necrosis. In: Cell death in bilogy and pathology, Bowen ID, Lockshin RA (eds) Chapman & Hall. London, pp 9-34.



Fizi

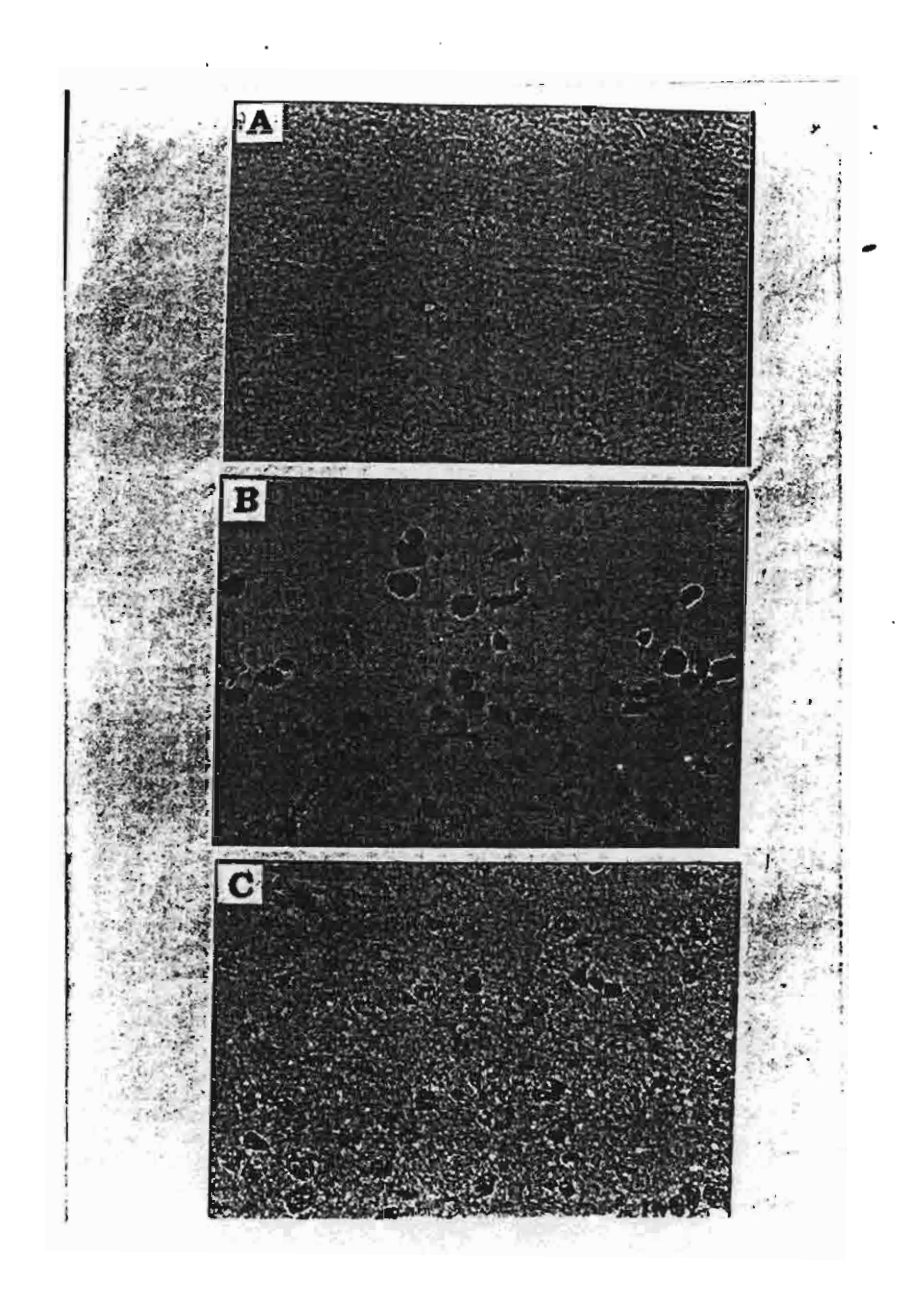
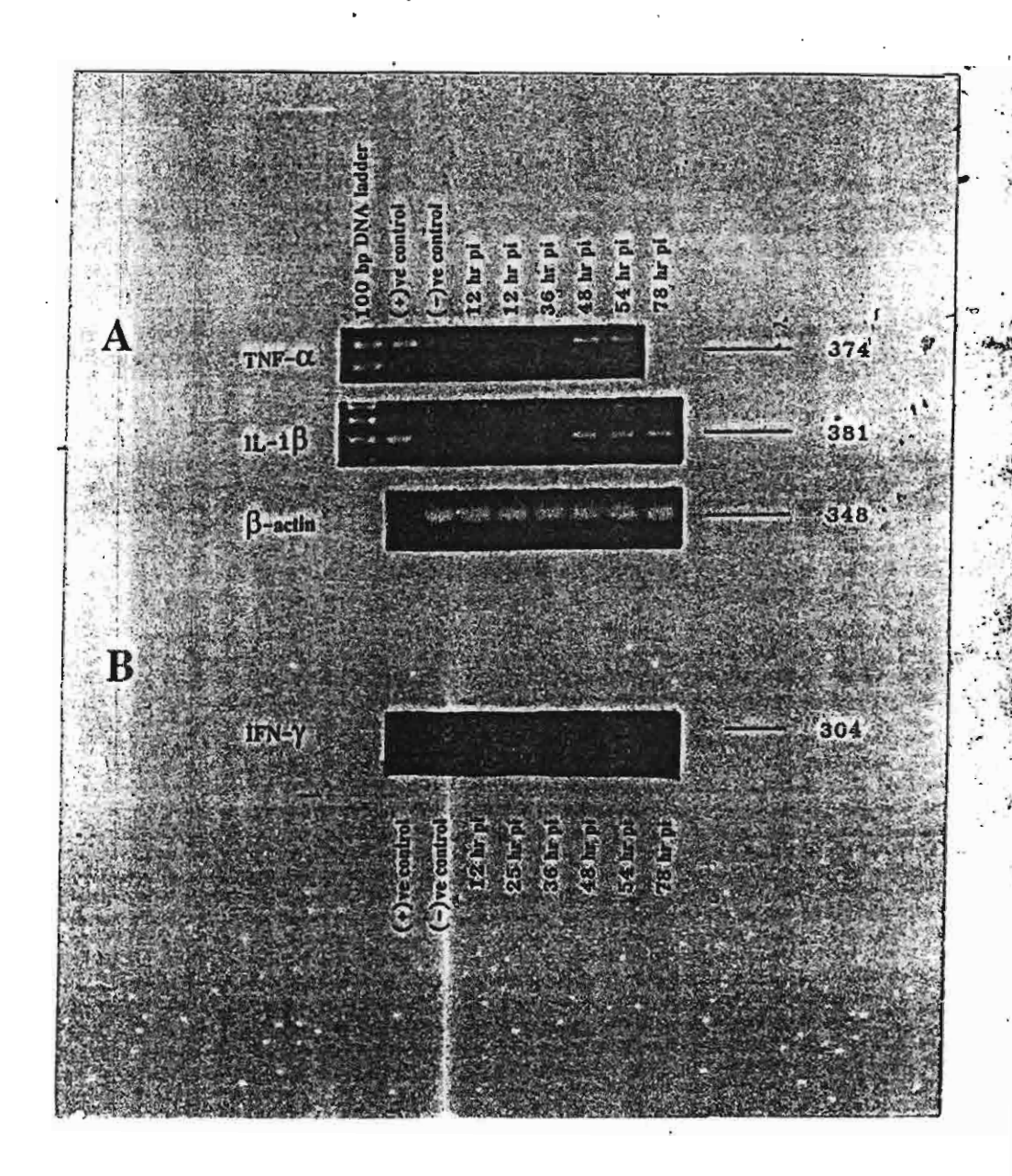
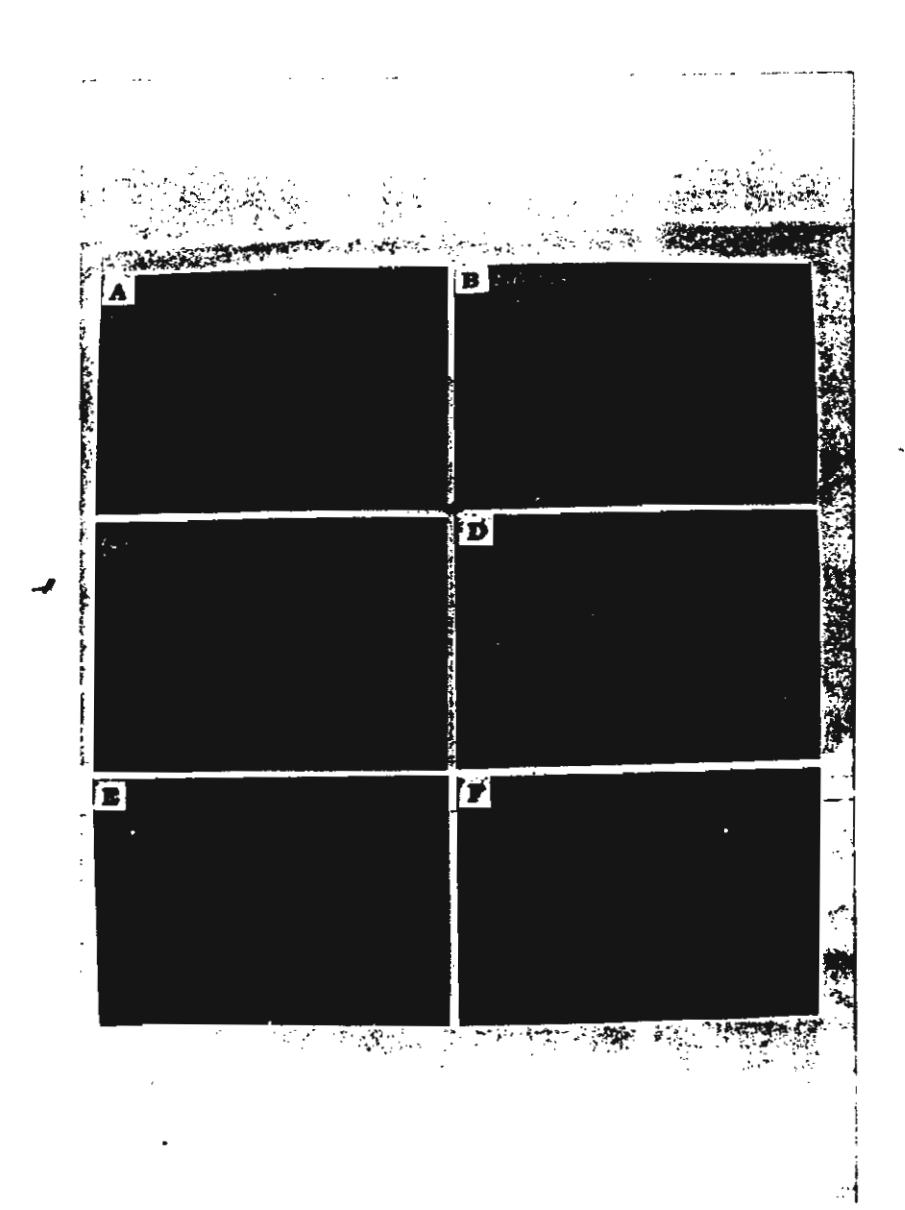


Fig Z



[is >



Eig 4



Fags